



**UNIVERSIDAD DEL SURESTE
CAMPUS COMITAN
MEDICINA HUMANA**



INTERPRETACIONES RADIOGRAFICAS

CESAR FELIPE MORALES SOLIS

IMAGENOLOGIA

**DR. GERARDO CANCINO
GORDILLO**

4-A

PASIÓN POR EDUCAR

PASIÓN POR EDUCAR

COMITAN DE DOMINGUEZ CHIAPAS A 15 DE MARZO DEL 2024.

IMAGEN 1



Radiografía en corte sagital, revelando la presencia de una persona con una cabeza alargada, exhibiendo un cerebro de dimensiones reducidas y una médula espinal elongada. Además, se distinguen cinco vértebras cervicales, entre las cuales se encuentran el atlas y el axis. Se aprecia también la prominencia del globo ocular. Se evidencia la presencia del hueso nasal, la mandíbula junto con el maxilar, así como una dentadura que presenta anomalías.

IMAGEN 2



Radiografía de paciente femenino, donde observamos un cráneo normocéfalo, el hueso de la orbita ocular, observamos el maxilar, piezas dentales, la bóveda del cráneo de tamaño normal, se identifican cuerpos vertebrales desde las cervicales hasta algunas torácicas, observamos costillas y los huesos del esternón, el radio y el cubito, en añadido también se visualizan audífonos y tejido adiposo que podría ser grasa de las glándulas mamarias

IMAGEN 3



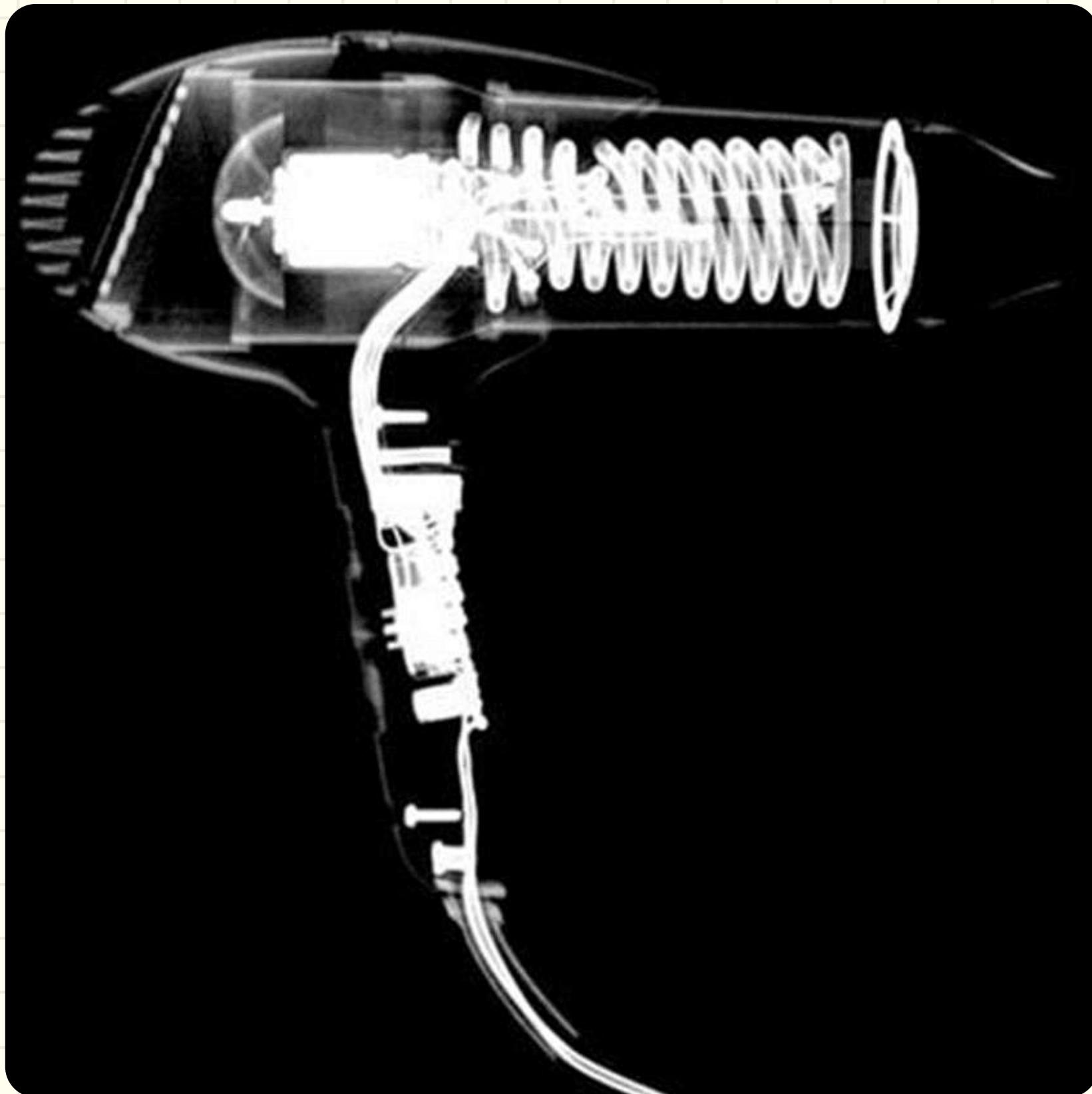
Radiografía donde podemos observar un posible muñeco con semejanza a un caballo donde podemos identificar sus 4 patas, la cola y en la punta de la misma observamos un material diferente del resto al igual que en el cabello, observamos sus ojos y lo que parece ser un parche

IMAGEN 4



Radiografía de un animal femenino embarazada de entre 4 a 6 crías donde observamos la columna vertebral en algunos de ellos además de sus cráneos . También observamos la columna vertebral de la madre que conecta con los huesos de la cadera, los huesos de las patas traseras, y podemos visualizar los arcos costales y los huesos de la cola

IMAGEN 5



Radiografía de lo que parece ser una secadora de cabello. En la parte superior se distingue el motor del ventilador, con una abertura posterior por la cual entra el aire, y en la parte frontal se aprecia otra abertura por donde sale el aire. También se observa un cable que conecta esta sección con el mango inferior. En la parte inferior se visualiza el mango, el cual presenta botones que probablemente sirven para ajustar los niveles de aire, así como un cable largo que lo acompaña.

IMAGEN 6



Radiografía donde podemos visualizar un dispositivo en formato análogo donde podemos identificar el cableado que le da alimentación a través de 8 pines, alimentando los motores de vibración y al chipset del mando, también identificamos el armazón y los tornillos de densidad metal

IMAGEN 7



Se aprecia en la radiografía lo que parece ser una maleta de viaje. En la parte exterior de la estructura, se divisa un asidero en la parte superior y unos soportes en la inferior para la maleta. En el interior, la maleta se divide en tres compartimentos: en los superiores se distinguen una plancha para el cabello, envases de perfumes y lociones, así como un envase vacío. En la sección inferior se observan un juguete sexual, un set de manicura, pasadores para el cabello, un cepillo para el cabello, un paquete sellado, unos rizadores de cabello

IMAGEN 8



Radiográfica donde se muestra lo que parece ser una maleta de equipaje con un bolso tipo deportivo en su interior. Entre los objetos detectados se encuentran un par de zapatos para un deporte, un pato de hule color amarillo, un juego de llaves, una pequeña pieza no identificada y un conjunto de artículos de higiene personal, que incluye un cepillo de dientes, un cortaúñas y una maquinilla de afeitar. Además, se distinguen unos elegantes lentes de sol.

IMAGEN 9



Radiografía donde se aprecia una sección del sistema genitourinario masculino. La vejiga es discernible, mostrando lo que parece ser la presencia de un líquido de contraste, revelando así un estrechamiento del conducto ocasionado por la próstata. También se pueden distinguir irregularidades en los bordes del conducto uretral. Además de esto, se observa claramente la anatomía del pene y una porción de la cabeza del fémur.

IMAGEN 10

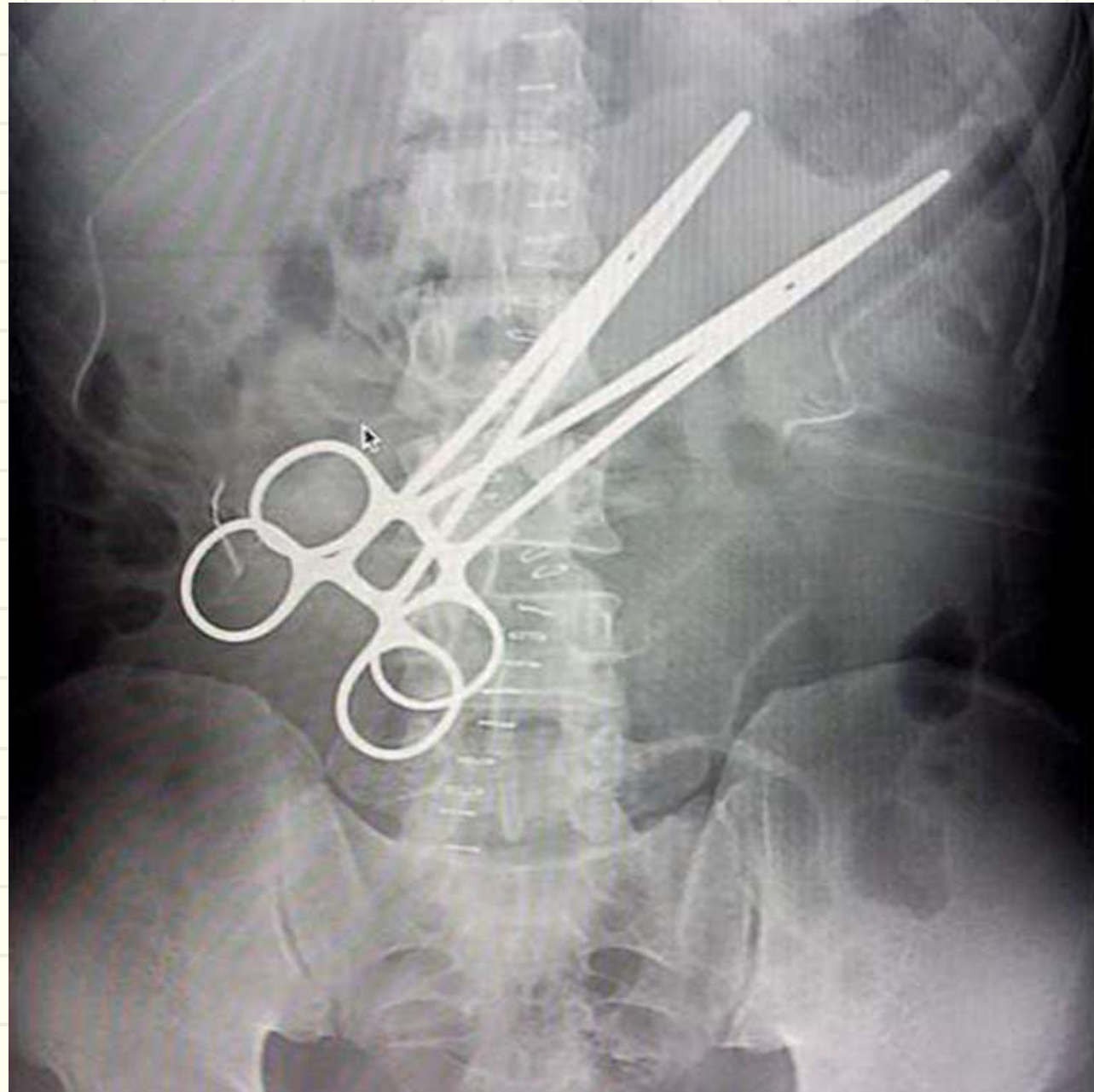


ambien observamos

Radiografía anteroposterior de la región pélvica de una paciente femenina. En la imagen, se pueden distinguir varias estructuras anatómicas. Se visualiza el pubis, el arco del pubis y la apertura superior de la pelvis, así como la región sacra. Se destacan la sínfisis del pubis, junto con las ramas inferior y superior del pubis. A ambos lados, izquierdo y derecho.

Además, se aprecia la presencia de un útero bicornue, así como las Trompas de Falopio y los ovarios. Se nota la inserción de un dispositivo metálico o transductor a través de la vagina. Esta imagen proporciona una visión detallada de la anatomía pélvica femenina, permitiendo la evaluación precisa de las estructuras reproductivas y la pelvis.

IMAGEN 11



AIRE

-Cámaras de aire
dispuestas por todo el
intestino

GRASA

-tejido subcutaneo
-Tejido graso

LTB

-Borde hepático

RADIOGRAFIA DE ABDOMEN Y PELVIS

CALCIO

-Crestas iliacas
-Huesos de la
pelvis
-cuerpos
vertebrales
torácicos,
abdominales,
lumbares y sacros
-Arcos costales

METAL

-grapas
dispuestas por la
columna vertebral
-Pinzas
quirúrgicas

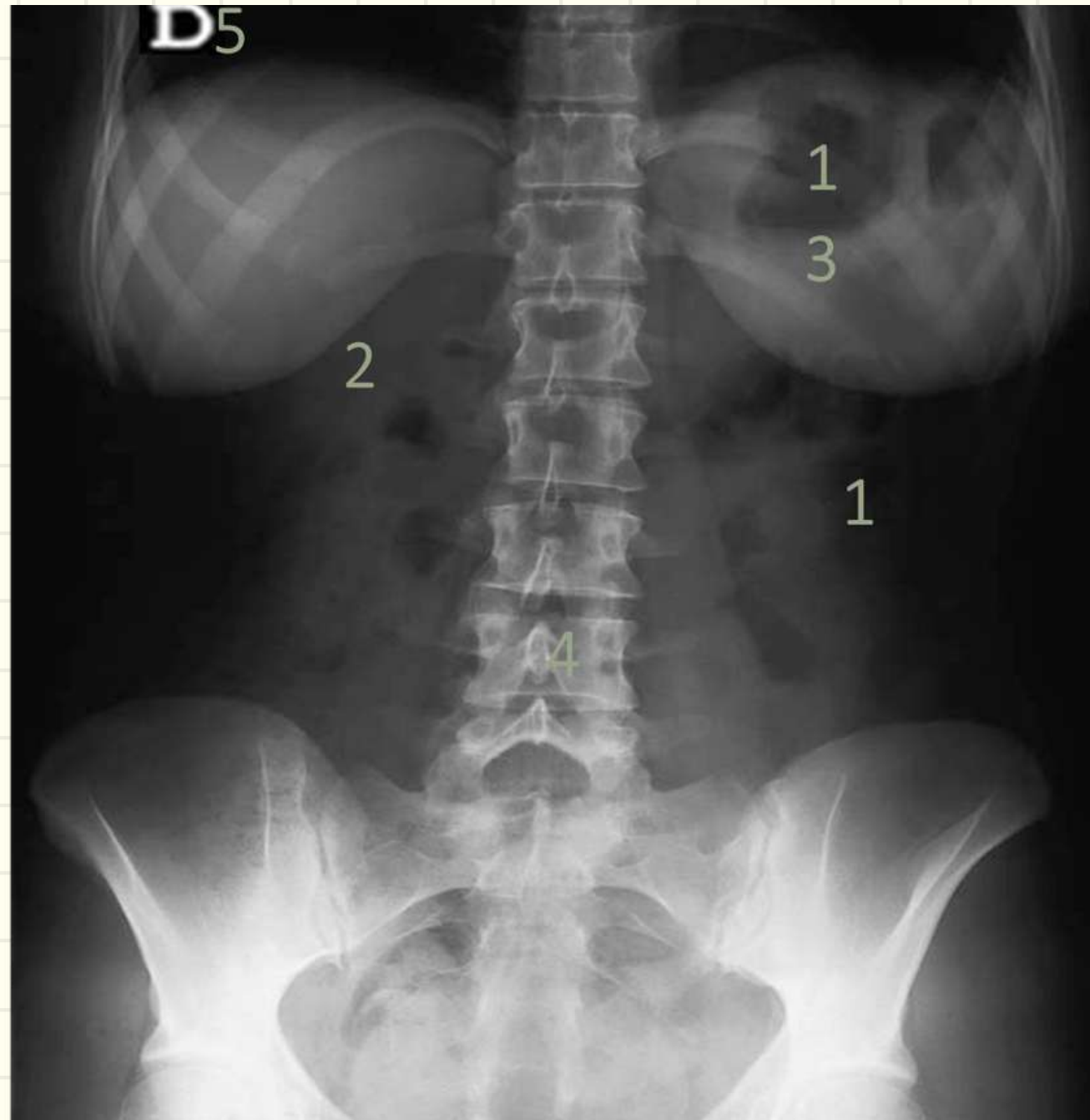
RADIO LUCIDO

-Cámaras de aire dispuestas
por todo el intestino

RADIO OPACO

-tejido subcutaneo
-Borde hepático
-grapas dispuestas por la
columna vertebral
-Pinzas quirúrgicas
--Crestas iliacas
-Huesos de la pelvis
-cuerpos vertebrales
torácicos, abdominales,
lumbares y sacros
-Arcos costales

IMAGEN 12



RADIOGRAFIA DE ABDOMEN Y PELVIS

AIRE

- Base pulmonar
- Flexura esplénica
- Burbuja gástrica

GRASA

- Tejido graso y grasa de las glándulas mamarias
- Tejido subcutáneo

LTB

- Músculo psoas

CALCIO

- Crestas ilíacas
- Huesos de la pelvis
- Arcos costales

METAL

RADIO LUCIDO

- Base pulmonar
- Flexura esplénica
- Burbuja gástrica

RADIO OPACO

- Crestas ilíacas
- Huesos de la pelvis
- Arcos costales
- Músculo psoas
- Tejido graso
- Tejido subcutáneo

IMAGEN 13



AIRE

-hazas intestinales con
aire

GRASA

-tejido adiposo
-tejido subcutáneo

LTB

-Borde hepático

**RADIOGRAFIA
DE ABDOMEN
Y PELVIS**

CALCIO

-Litos vesicales
-Cuerpos
vertebrales
-Huesos de la
pelvis
-sínfisis del pubis

METAL

RADIO LUCIDO

-hazas intestinales con aire

RADIO OPACO

-Litos vesicales
-Cuerpos vertebrales
-Huesos de la pelvis
-Borde hepático
-tejido adiposo
-tejido subcutáneo

IMAGEN 14

RADIOGRAFIA DE ABDOMEN

AIRE

-burbujas de gas a nivel intestinal

GRASA

-tejido adiposo
-tejido subcutáneo

LTB

CALCIO

-crestas iliacas
-Huesos de la pelvis
-sacro
-cuerpos vertebrales
-arcos costales
-la cabeza del fémur
-Espina iliaca

METAL

-Material medico quirúrgico con forma lineal
-Grapas quirúrgicas

RADIO LUCIDO

-burbujas de gas a nivel intestinal

RADIO OPACO

-tejido adiposo
-tejido subcutáneo
-crestas iliacas
-Huesos de la pelvis
-sacro
-cuerpos vertebrales
-arcos costales
-Material medico quirúrgico con forma lineal

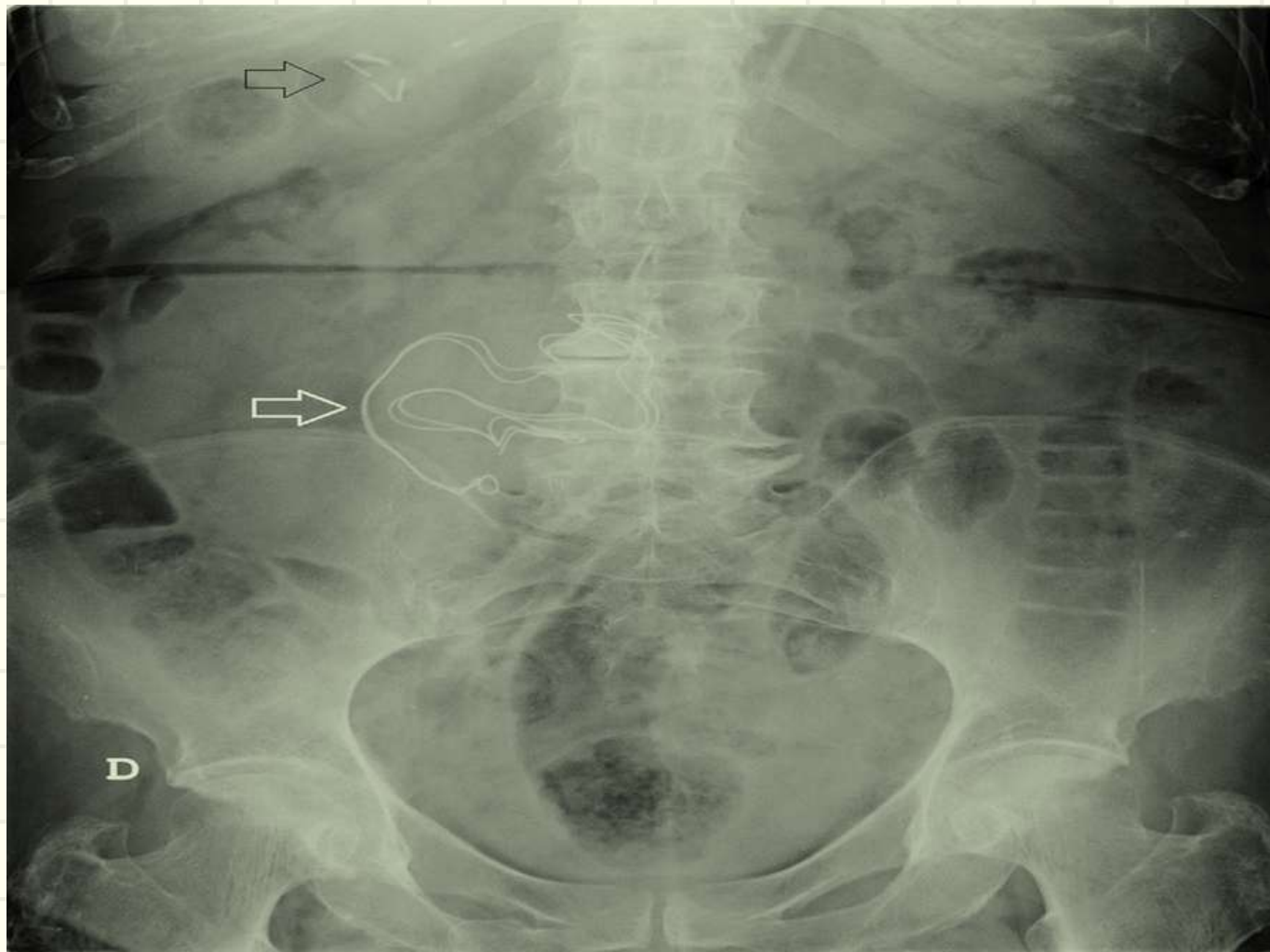


IMAGEN 15

RADIOGRAFIA DE ABDOMEN Y PELVIS



AIRE

-Artefacto de movimiento

GRASA

-tejido adiposo
-tejido subcutáneo

LTB

-Musculo psoas

CALCIO

-Huesos de la pelvis
-cresta iliacas
-sífnisis del pubis
-sacro
-acetábulo

METAL

-se observa un objeto de densidad metal con bordes regulares ubicado cerca de la articulación sacroilíaca

RADIO LUCIDO

-Artefacto de movimiento

RADIO OPACO

-tejido adiposo
-tejido subcutáneo
-se observa un objeto de densidad metal con bordes regulares
-Huesos de la pelvis
-cresta iliacas
-sífnisis del pubis